doi:10.3969/j.issn.1671-5152.2011.04.004

# 钢塑转换接头焊接过程中降温位置的选择

□ 深圳市燃气集团股份有限公司(518172)王 坤

要: 对钢塑转换接头焊接过程中的热量传递进行了分析和估算,提出了选择降温位置的建议。

关键词:钢塑转换接头 电弧焊 热传递 降温

# 问题提出

近几年, PE管作为一种新型城镇燃气管材在一 些地区得到了大量应用, PE管在与钢管接驳时需使 用钢塑转换接头门。在钢管端焊接过程中会产生大量 的热量, 当热量传递至钢塑边界时, 由于塑料热阻较 大, 使热传递过程减缓, 导致钢塑接头部位温度迅速 上升,需要采取降温措施以保护与钢管连接的PE管 部分。在实际操作中由于不清楚钢管一端的温度分布 情况,在选择降温位置时有一定的盲目性,降温位置 距离焊缝太近会影响焊缝质量,太远则影响降温效 果,通常凭经验来选择。如果能对钢管部分的温度分 布情况进行分析并根据分析结果选择合适的降温位 置,可在一定程度上改善降温效果。

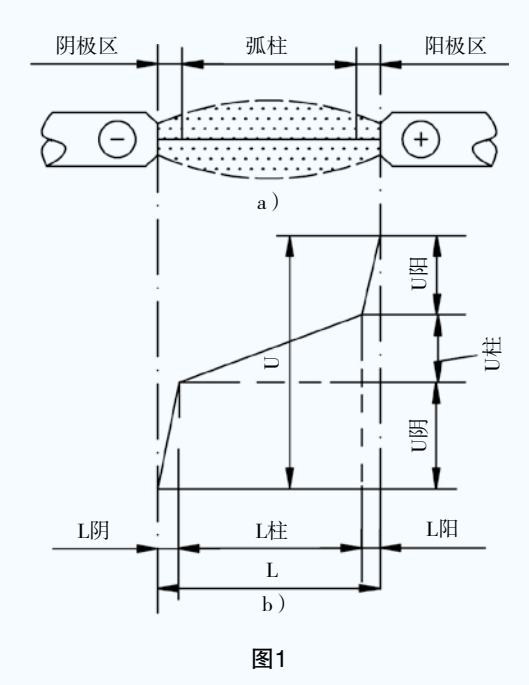
#### 钢塑转换焊接过程中焊口处温度确定 2

# 2.1 焊接电弧的组成及各部分的性质

焊接电弧在其轴线方向由阴极区、阳极区和弧柱 3部分所组成,见图1。

# 2.2 接触短路引弧法引燃焊接电弧的过程

引弧时,首先接通焊接电源,再将焊条或焊丝与 焊件接触短路,这时在接触点上由于通过较大的短路 电流而产生高温, 电极金属和接触焊件的表面立刻熔 化,形成液态金属间层,充满在电极和焊件之间。当 将焊条或焊丝提起时,液态金属间层的横截面减小,



a)组成区域 b)电压分布

 $L_{\text{\tiny H}}$ —
Пимон  $L_{\text{\tiny$ Um─阳极长度 Um─孤柱压降

电流密度增加,温度升高,当液态金属间层被拉断瞬 时,间层的温度达到沸点,产生大量金属蒸气,在电 场的作用下,气体被电离,产生焊接电弧。引弧过程 见图2。

#### 2.3 焊口温度确定

焊接电弧中3个区段的温度分布极不均匀:一般 情况下, 阳极斑点的温度高于阴极斑点的温度, 但都 低于该种材料的沸点。不同电极材料阴极斑点和阳极

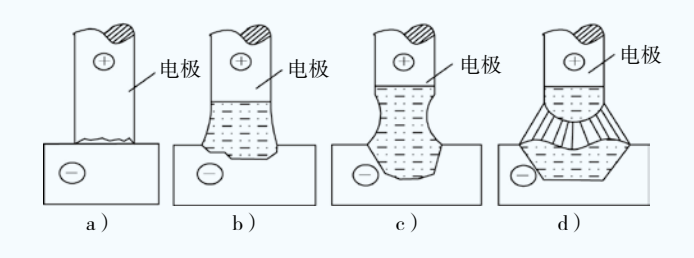


图2

a) 电极接触短路 b) 形成液态金属间层 c) 提升电极 d) 引燃电弧

表1 阴极斑点和阳极斑点的温度(K)

电极材料	С	W	Fe	Ni	Cu	Al
阴极斑点	3 500	3 000	2 400	2 400	2 200	3 400
阳极斑点	4 200	4 200	2 600	2 400	2 400	3 400
熔点	/	3 683	1 812	1 728	1 356	933
沸点	/	6 203	3 013	3 003	2 868	2 333

斑点的温度,见表1。

在手工电弧焊焊接过程中随着输入电流的改变, 导入焊接端的热量会有一定变化, 阴极端的温度也会 有相应改变。现假定从焊接开始直至结束,输入焊接 端的热量是恒定的。这些热量在阴极斑点产生某一高 温(在表1数据中, 当电极材料为铜时, 焊接件处阴 极斑点的温度为 2 200K), 焊缝熔合区的温度基本维 持在1500℃左右[2]。焊接结束,在冷却过程结束之前, 焊缝热影响区的最低温度一般以不低于500℃为宜。

# 钢管焊接过程降温点选择

# 3.1 模型建立

(1)由于钢塑转换钢管部分壁厚远小于钢管的 长度,且钢管导热系数数值较大,因此可近似认为钢 管内部沿垂直于管道厚度方向即管道径向Y的温度变 化很小、钢管部分温度分布仅仅沿钢管轴向Z发生明 显的变化; 现将钢管部分沿轴向垂直剖开, 将剖开的 钢管看作等截面直肋[3],于是该问题转化为对等截面 直肋一维稳态温度场的求解。

(2) 假设空气温度为25℃。

### 3.2 分析求解过程

将问题简化为等截面直肋导热问题后,为便于 求解,首先需确定直肋的高度、宽度、厚度、周边长 度及横截面积。将钢管沿着轴向垂直剖开后,变成以 管周长(L)为宽,以管长(B)为高度,以管道壁厚 (δ)为长度的直肋模型,如图3所示。

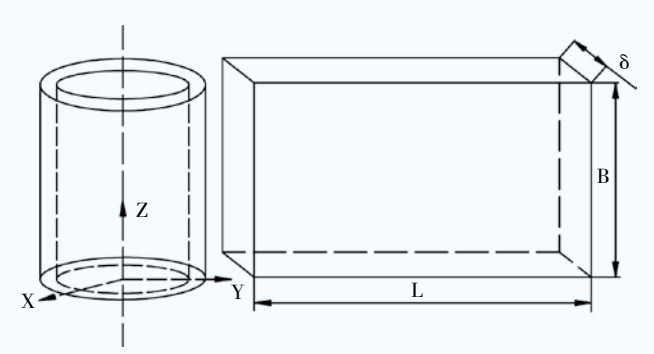


图3 模型求解辅助示意图

计算步骤如下:

(1)  $U=2(L+\delta)$ 

式中 U----肋片的周边长度, m

L----肋片的宽度, m, (在本问题中取圆管周长 值)

δ ——肋片的厚度, m

- (2)  $A_r = L \times \delta$  式中 $A_r$  ——肋片的横截面积,  $m^2$
- $(3) \theta_0 = t_0 t_0$

式中 t₀——肋基处温度, ℃

t.——周围介质的温度,本文中取常温下空气温 度,25℃

$$(4)$$
  $m=\sqrt{\frac{hU}{\lambda A_I}}$  ——中间值,1/m

式中 h——肋片与周围介质(空气)的表面传热 系数, w/(m<sup>2</sup>.K)

λ——肋片的导热系数, w/(m.K)

(5)等截面直肋肋端处过余温度

$$\theta_B = \theta_0 \frac{1}{ch \ (mB)}$$

式中 θ<sub>8</sub>——肋端处过余温度, ℃

θ。——肋基处过余温度, ℃。例如, 当电极材 料为铜时,将焊缝熔合区的温度(1500℃)作为基 准温度,则肋基处的过余温度取值1475℃;

B——肋片的高度, m, 即钢管的长度

3.3 以直径 φ 315钢塑转换为例求解肋端处过余温度 结合表2及图4中的数据,按照2.1求解过程最终 得到 ϕ 315钢塑转换钢塑交接处的温度为238℃。

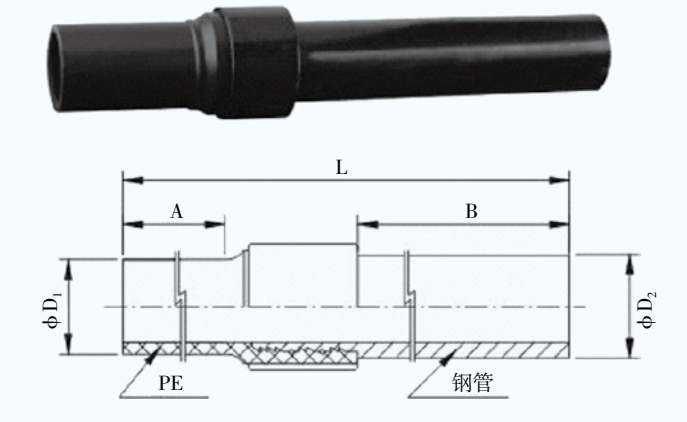


图4 钢塑转换接头结构简图

表2 常用钢塑转换规格及主要参数(mm)

规格	PE D1	钢管部分			PE部分	钢管部分
次化合		D2	壁厚 $\delta$	L	Α	В
200钢塑转换	200	219	7	650	160	390
250钢塑转换	250	273	7	670	195	370
315钢塑转换	315	325	8	680	200	330
400钢塑转换	400	426	10	/	280	330

继续计算,可得到 \$\phi\$315钢塑转换在钢管的3B/4、 B/2处的温度, 依次为: 433°C、740°C。依次类推, 可分别得到 \$\phi 200 \times \$\phi 250 \times \$\phi 400 \text{20}}\text{\tin}\text{\tin}\text{\text{\text{\text{\text{\text{\text{\text{\text{\text{\text{\text{\text{\texi}\text{\text{\text{\text{\text{\text{\texi}\text{\text{\text{\text{\text{\text{\texi}\text{\text{\text{\ti}\tinz{\text{\text{\texi}\text{\text{\text{\text{\text{\ti}\tin} 3B/4、B/2处的温度值,见表3。

表3 常用钢塑转换钢管部分焊接过程中 距离焊口不同位置温度值(℃)

规格	t <sub>B</sub>	t <u>3</u> <sub>4</sub> <sub>B</sub>	t <u>B</u>	
φ200钢塑转换	130.5	274.5	448	
φ250钢塑转换	153	309	483	
φ315钢塑转换	238	433	592	
φ400钢塑转换	311	516	653	

### 3.4 降温位置选择

美国塑料管协会(PPI plastics pipe institute)编制 的TN-13/2001 《general guidelines for butt, saddle, and socket fusion of unlike polyethylene pipes and fittings》中 提出、PE管热熔焊接时、具有不同熔体流动速率的 材料所设定的焊接温度不同。聚乙烯熔体流动速率在 1~4级时,焊接温度一般采用171℃~232℃;熔体流 动速率为5级及4级中的一部分材料,焊接温度可以采 用232℃~260℃4。总体上,热熔焊接的焊接温度低 于260℃。

根据表3中数据,直径小于 6315的钢塑转换其钢 管在焊接过程中钢塑交接处的温度略低于PE管的热 熔焊接温度,低于低碳钢再结晶区峰值边界温度— 500℃[5], 在此位置采取降温措施对焊口及热影响区的 影响程度较低。但对于直径大于 φ 400 (含)的钢塑 转换,由于在钢管部分距离焊口B及3B/4处的温度均 较高,为保护PE管,需要在钢管部分远离焊口的位 置采取降温措施,根据计算结果,为了不影响焊口质 量,可将降温位置前移,选在3/4处附近。

#### 结论 4

- (1)将燃气用钢塑转换钢管部分焊接时的热传 递过程视为等截面直肋的导热问题可简化计算过程。
- (2) 将计算结果与实际情况比较后可以发现, 直径小于(含) Φ315的钢塑转换适用该种算法, 直 径大于φ315的钢塑转换,经计算得到的温度显然已 超过PE管的软化温度,已与实际情况不符,显然该 种算法不适合,需寻找其他算法。
- (3) 在选择降温位置时,需要综合考虑PE管部 分能承受的最高温度和钢管部分焊口质量不受影响的 最低冷却温度,初步确定几个降温位置,并从中选择 最佳降温位置。

#### 参考文献

- 1 CJJ63-2008, 聚乙烯燃气管道工程技术规程[S]
- 2李铭堂.手工电弧焊[M].浙江:科学技术出版社, 1981
- 3章熙民、任泽霈、梅飞鸣.《传热学》(第四版)[M]. 北京:中国建筑工业出版社
- 4 PE管热熔焊接兼容性分析[J]